

Modelos de Robots Móviles

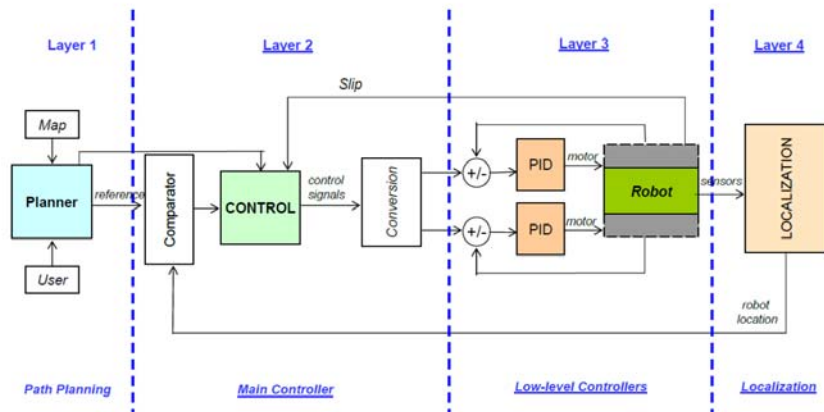
CONTROL Y PROGRAMACIÓN DE ROBOTS

Grado en Electrónica, Robótica y Mecatrónica

Modelos geométricos y cinemáticos

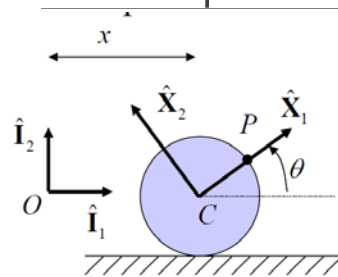
- Vamos a considerar solamente robots con ruedas.
- Hipotesis básicas:
 - Piso plano
 - ejes de guiado perpendicular al piso
 - rodadura pura sin deslizamiento
 - robot rígido

Arquitectura de robot móvil



3

Concepto de restricción



variables generalizadas $q = \begin{pmatrix} x \\ \theta \end{pmatrix}$

La condición de rodadura pura sin deslizamiento se escribe

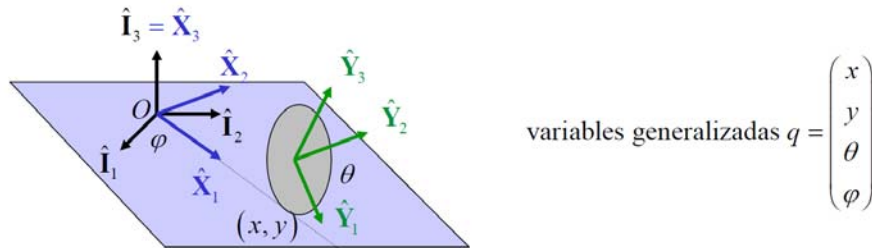
$$\frac{dx}{dt} + R \frac{d\theta}{dt} = 0 \Leftrightarrow \dot{x} = -R\dot{\theta}$$

Se puede integrar esa condición y obtenemos

$$x + R\theta = \text{constante} \Leftrightarrow h(q, t) = 0 \quad \text{restricción holónoma}$$

4

Concepto de restricción



La condición de rodadura pura sin deslizamiento se escribe

$$-\dot{x} \sin \varphi + \dot{y} \cos \varphi = R \dot{\theta}$$

no integrable

$$\dot{x} \cos \varphi + \dot{y} \sin \varphi = 0$$

$$\Leftrightarrow h(q, \dot{q}, t) = 0 \quad \text{restricción no holónoma}$$

5

– Concepto de restricción

$$\text{restricción holónoma} \quad \Leftrightarrow h(q, t) = 0$$

$$\text{restricción no holónoma} \quad \Leftrightarrow h(q, \dot{q}, t) = 0$$

– Modelo cinemático directo (Jacobiano)

Se trata de relacionar las coordenadas generalizadas con las coordenadas de actuación

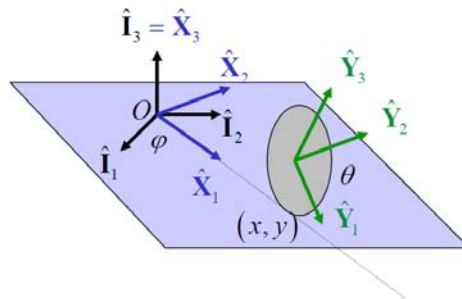
$$\dot{q} = J(q) \dot{p}$$

con q : vector de coordenadas generalizadas

p : vector de coordenadas de actuación

6

Modelo cinemático directo



variables generalizadas $q = \begin{pmatrix} x \\ y \\ \varphi \end{pmatrix}$

variables de actuación $p = \begin{pmatrix} \theta \\ \varphi \end{pmatrix}$

$$\left\{ \begin{array}{l} \dot{x} \cos \varphi + \dot{y} \sin \varphi = R \dot{\theta} \\ -\dot{x} \sin \varphi + \dot{y} \cos \varphi = 0 \end{array} \right\} \Rightarrow \dot{q} = \begin{bmatrix} \dot{x} \\ \dot{y} \\ \dot{\varphi} \end{bmatrix} = \begin{bmatrix} R \cos \varphi & 0 \\ R \sin \varphi & 0 \\ 0 & 1 \end{bmatrix} \begin{bmatrix} \dot{\theta} \\ \dot{\varphi} \end{bmatrix} = J(q) \dot{p}$$

7

Modelo cinemático inverso

$$\dot{p} = J(q)^{-1} \dot{q}$$

En la mayoría de los casos, J no es cuadrada y toca usar la pseudo inversa:

$$\dot{p} = \left(J(q)^T J(q) \right)^{-1} J(q)^T \dot{q}$$

En nuestro ejemplo,

$$\dot{p} = \begin{bmatrix} \dot{\theta} \\ \dot{\varphi} \end{bmatrix} = \begin{bmatrix} \frac{1}{R} \cos \varphi & \frac{1}{R} \sin \varphi & 0 \\ 0 & 0 & 1 \end{bmatrix} \begin{bmatrix} \dot{x} \\ \dot{y} \\ \dot{\varphi} \end{bmatrix} = \begin{bmatrix} \frac{1}{R} \cos \varphi & \frac{1}{R} \sin \varphi & 0 \\ 0 & 0 & 1 \end{bmatrix} \dot{q}$$

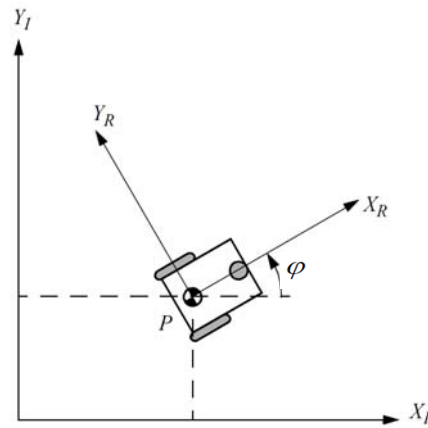
8

Representación de la postura del robot móvil

- Ejes Inerciales: $\{X_I, Y_I\}$
- Ejes del robot: $\{X_R, Y_R\}$
- Postura del robot: $[x, y, \varphi]^T$
- Relación entre los ejes:

$$\dot{\xi}_R = R(\varphi)\dot{\xi}_I = R(\varphi) \cdot [\dot{x} \ \dot{y} \ \dot{\varphi}]^T$$

$$R(\varphi) = \begin{bmatrix} \cos\varphi & \sin\varphi & 0 \\ -\sin\varphi & \cos\varphi & 0 \\ 0 & 0 & 1 \end{bmatrix}$$

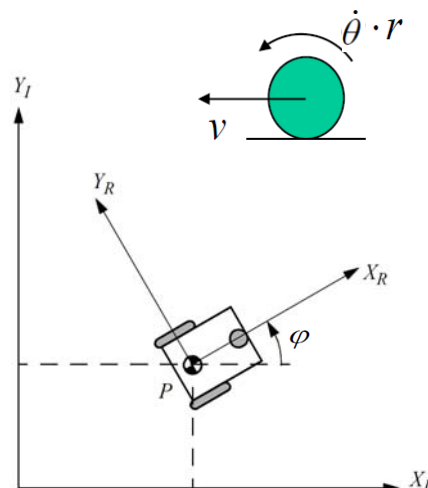


9

Restricciones cinemáticas de las ruedas

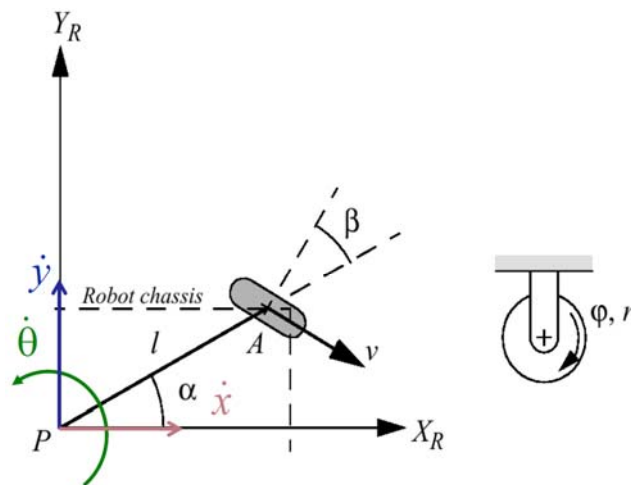
Suposiciones:

- Movimiento en un plano horizontal
- Las ruedas tienen un punto de contacto
- Las ruedas son no deformable.
- $v_c = 0$ en el punto de contacto
- No se resbala, arrastre o deslizamiento
- No hay fricción en el punto de contacto
- Los ejes de dirección son ortogonales a la superficie
- Las ruedas están conectadas al bastidor rígido



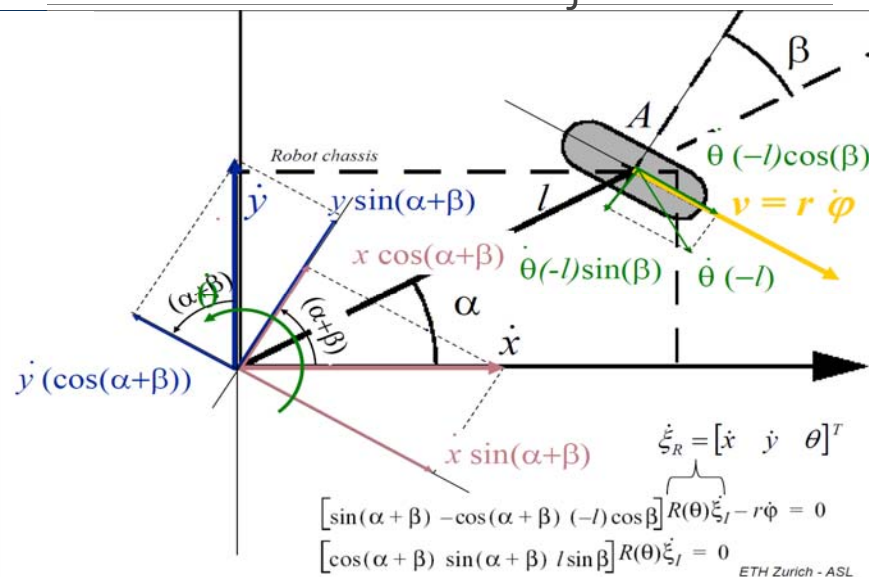
10

Restricciones: ruedas fijas



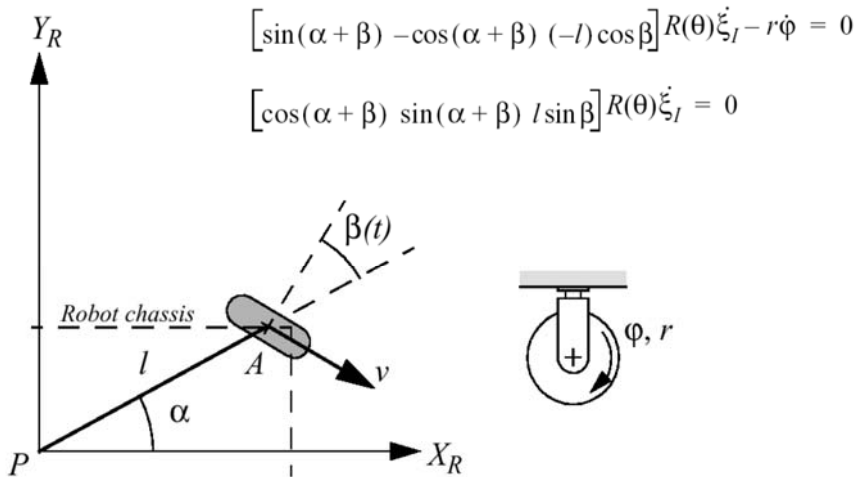
© R. Siegwart, ETH Zurich - ASL

Restricciones: ruedas fijas



ETH Zurich - ASL

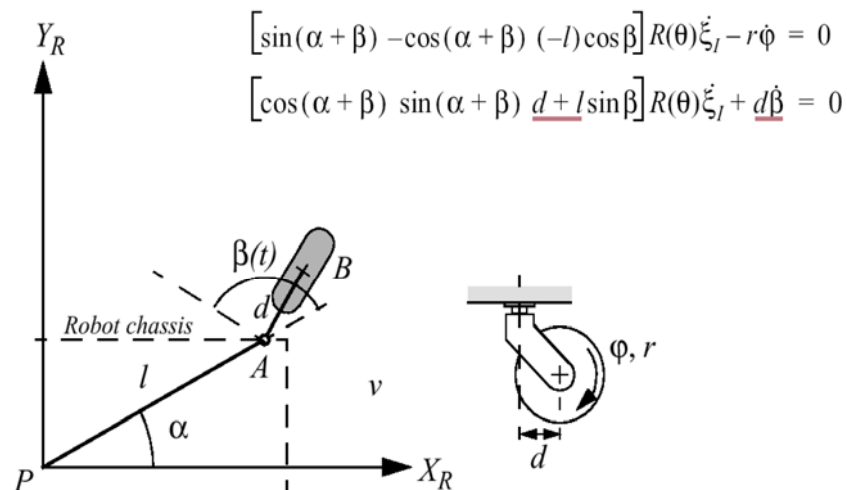
Restricciones: rueda orientable



© R. Siegwart, ETH Zurich - ASL

13

Restricciones: rueda de castor

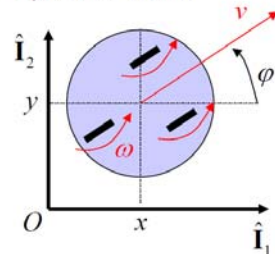


© R. Siegwart, ETH Zurich - ASL

14

Ejemplos de configuraciones

- Synchro-Drive



variables generalizadas $q = \begin{pmatrix} x \\ y \\ \varphi \end{pmatrix}$

3 coordenadas generalizadas

variables de actuacion $p = \begin{pmatrix} \dot{\theta} \\ \omega \end{pmatrix}$

$$\begin{cases} \dot{x} = v \cos \varphi \\ \dot{y} = v \sin \varphi \end{cases} \Leftrightarrow \dot{x}^2 + \dot{y}^2 = v^2$$

$$\dot{\varphi} = \omega$$

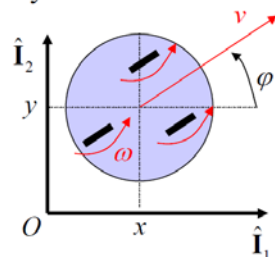
$$\text{con } v = R\dot{\theta}$$

1 restricción \longrightarrow 2 GDL

15

Ejemplos de configuraciones

- Synchro-Drive



variables generalizadas $q = \begin{pmatrix} x \\ y \\ \varphi \end{pmatrix}$

variables de actuacion $p = \begin{pmatrix} \dot{\theta} \\ \omega \end{pmatrix}$

$$\begin{cases} \dot{x} = v \cos \varphi \\ \dot{y} = v \sin \varphi \end{cases} \Leftrightarrow \dot{x}^2 + \dot{y}^2 = v^2$$

$$\dot{\varphi} = \omega$$

$$\text{con } v = R\dot{\theta}$$

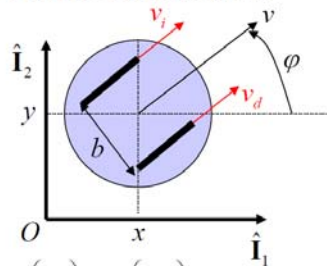
$$\Rightarrow \begin{pmatrix} \dot{x} \\ \dot{y} \\ \dot{\varphi} \end{pmatrix} = \begin{pmatrix} R \cos \varphi & 0 \\ R \sin \varphi & 0 \\ 0 & 1 \end{pmatrix} \begin{pmatrix} \dot{\theta} \\ \omega \end{pmatrix}$$

Modelo cinemático

16

Ejemplos de configuraciones

- Ruedas diferenciales



variables generalizadas $q = \begin{pmatrix} x \\ y \\ \varphi \end{pmatrix}$

variables de actuación $p = \begin{pmatrix} \omega_i \\ \omega_d \end{pmatrix}$

$$\begin{pmatrix} v_i \\ v_d \end{pmatrix} = R \begin{pmatrix} \omega_i \\ \omega_d \end{pmatrix}$$

$$\begin{pmatrix} v \\ \dot{\varphi} \end{pmatrix} = \begin{pmatrix} \frac{v_d + v_i}{2} \\ \frac{v_d - v_i}{b} \end{pmatrix} = \begin{pmatrix} R/2 & R/2 \\ -R/b & R/b \end{pmatrix} \begin{pmatrix} \omega_i \\ \omega_d \end{pmatrix}$$

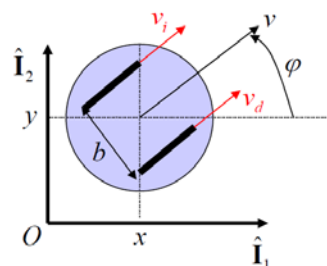
Y

$$\begin{cases} \dot{x} = v \cos \varphi \\ \dot{y} = v \sin \varphi \\ \dot{\varphi} = \omega \end{cases}$$

17

Ejemplos de configuraciones

- Ruedas diferenciales



variables generalizadas $q = \begin{pmatrix} x \\ y \\ \varphi \end{pmatrix}$

variables de actuación $p = \begin{pmatrix} \omega_i \\ \omega_d \end{pmatrix}$

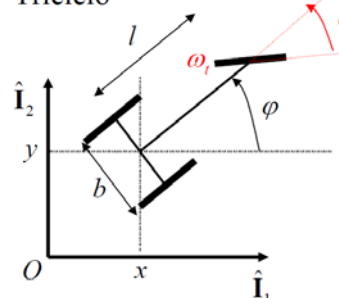
$$\Rightarrow \begin{pmatrix} \dot{x} \\ \dot{y} \\ \dot{\varphi} \end{pmatrix} = \begin{pmatrix} R/2 \cos \varphi & R/2 \cos \varphi \\ R/2 \sin \varphi & R/2 \sin \varphi \\ -R/b & R/b \end{pmatrix} \begin{pmatrix} \omega_i \\ \omega_d \end{pmatrix}$$

Modelo cinemático

18

Ejemplos de configuraciones

• Triciclo



variables generalizadas $q = \begin{pmatrix} x \\ y \\ \varphi \\ \alpha \end{pmatrix}$

variables de actuación $p = \begin{pmatrix} \omega_t \\ \omega_\alpha \end{pmatrix}$

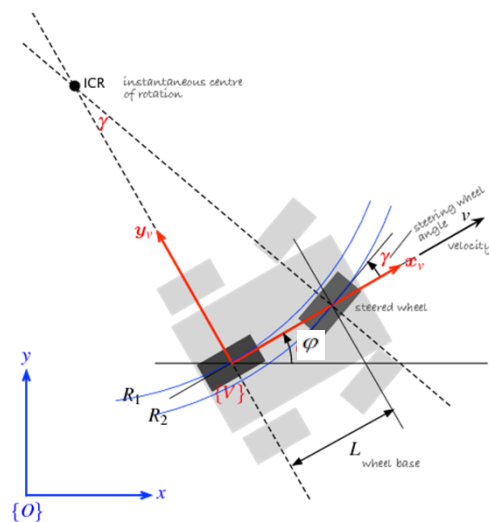
$$\begin{pmatrix} v \\ \dot{\varphi} \\ \dot{\alpha} \end{pmatrix} = \begin{pmatrix} R \cos \alpha & 0 \\ \frac{R \sin \alpha}{l} & 0 \\ 0 & 1 \end{pmatrix} \begin{pmatrix} \omega_t \\ \omega_\alpha \end{pmatrix}$$

$$\Rightarrow \begin{pmatrix} \dot{x} \\ \dot{y} \\ \dot{\varphi} \\ \dot{\alpha} \end{pmatrix} = \begin{pmatrix} R \cos \alpha \cos \varphi & 0 \\ R \cos \alpha \sin \varphi & 0 \\ \frac{R \sin \alpha}{l} & 0 \\ 0 & 1 \end{pmatrix} \begin{pmatrix} \omega_t \\ \omega_\alpha \end{pmatrix}$$

Modelo cinemático

19

Modelo de un coche. Biciclo



■ Postura del vehículo, representada por el sistema V : $q = (x, y, \varphi)$

■ La velocidad es: $v\dot{x} = v, v\dot{y} = 0$

■ La velocidad angular es: $\dot{\varphi} = \frac{v}{R_1}$

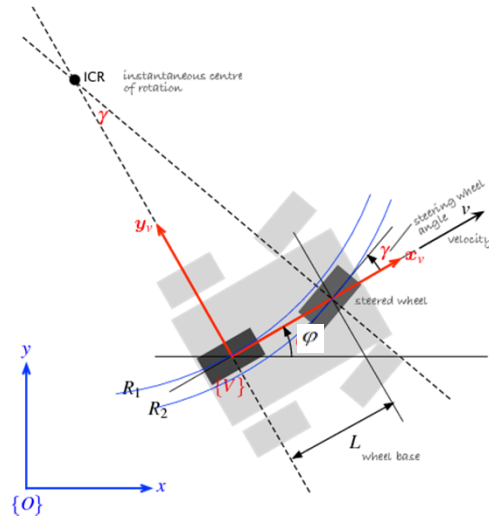
■ Siendo: $R_1 = L / \tan \gamma$

■ Modelo :

$$\begin{aligned} \dot{x} &= v \cos \varphi \\ \dot{y} &= v \sin \varphi \\ \dot{\varphi} &= \frac{v}{L} \tan \gamma \end{aligned}$$

20

Modelo de un coche. Biciclo



- Puede comprobarse que existe una restricción no-holónoma, no integrable:

$$\dot{y} \cos \varphi - \dot{x} \sin \varphi \equiv 0$$

- Cuando $v=0$, no es posible el cambio de orientación
- Cuando el ángulo γ es $\pi/2$ el vehículo no se puede mover hacia adelante y se tiene una región no definida.

- Modelo :

$$\begin{aligned} \dot{x} &= v \cos \varphi \\ \dot{y} &= v \sin \varphi \\ \dot{\varphi} &= \frac{v}{L} \tan \gamma \end{aligned}$$

21

Estimación de la posición

Integrar los modelos cinemáticos introduciendo condiciones iniciales

Synchro-Drive:

$$\begin{pmatrix} x \\ y \\ \varphi \end{pmatrix} = \begin{pmatrix} x_0 \\ y_0 \\ \varphi_0 \end{pmatrix} + \begin{pmatrix} \int_0^t R \dot{\theta} \cos \varphi dt \\ \int_0^t R \dot{\theta} \sin \varphi dt \\ \int_0^t \omega dt \end{pmatrix}$$

22

Estimación de la posición

Integrar los modelos cinemáticos introduciendo condiciones iniciales

Ruedas diferenciales:

$$\begin{pmatrix} x \\ y \\ \varphi \end{pmatrix} = \begin{pmatrix} x_0 \\ y_0 \\ \varphi_0 \end{pmatrix} + \begin{pmatrix} \int_0^t \frac{R}{2} \cos \varphi (\omega_i + \omega_d) dt \\ \int_0^t \frac{R}{2} \sin \varphi (\omega_i + \omega_d) dt \\ \int_0^t \frac{R}{b} (\omega_d - \omega_i) dt \end{pmatrix}$$

23

Estimación de la posición

Integrar los modelos cinemáticos introduciendo condiciones iniciales

Triciclo:

$$\begin{pmatrix} x \\ y \\ \varphi \\ \alpha \end{pmatrix} = \begin{pmatrix} x_0 \\ y_0 \\ \varphi_0 \\ \alpha_0 \end{pmatrix} + \begin{pmatrix} \int_0^t R \omega_t \cos \alpha \cos \varphi dt \\ \int_0^t R \omega_t \cos \alpha \sin \varphi dt \\ \int_0^t \frac{R}{l} \omega_t \sin \alpha dt \\ \int_0^t \omega_\alpha dt \end{pmatrix}$$

24

Ejemplos en Matlab.

- Realizar el Modelo del coche en Simulink y probar para distintos valores de v y Y .
- Realizar el Modelo de robot móvil configuración diferencial